

ارزیابی شاخص‌های وارونگی دمای لایه‌مرزی هوای شهر تهران

پذیرش نهایی: ۹۶/۵/۲۲

دریافت مقاله: ۹۵/۱۱/۲۰

DOI: 10.18869/acadpub.geores.32.2.120

چکیده

هدف این پژوهش بررسی وارونگی دمای لایه مرزی هوای شهر تهران طی سال‌های ۲۰۱۰–۲۰۱۴ در مقیاس زمانی روزانه، ماهانه و فصلی است. بدین منظور پارامترهای ارتفاع پایه و ارتفاع رأس وارونگی، دمای لایه پایه و رأس وارونگی، اختلاف دما بین دو لایه مزبور، عمق لایه وارونگی، مقدار فشار هوا در لایه پایه و لایه رأس وارونگی در دوره آماری ۲۰۱۰–۲۰۱۴ مورد بررسی قرار گرفت، سپس روزهای دارای وارونگی از نوع تابشی (ناشی از سرمایش شبانه پوشش سطح زمین) و فرونژینی هوا (پویشی) تفکیک گردید. با استفاده از شاخص‌های مختلف روزها بر اساس شدت وارونگی از ضعیف تا بسیار شدید طبقه‌بندی گردید. نتایج نشان داد تعداد روزهای توأم با پدیده وارونگی دما در دوره مطالعه ۲۳۱ روز بوده است که شامل ۲۰۶ روز (درصد) وارونگی تابشی و ۲۵ روز (۱۱ درصد) وارونگی فرونژینی می‌شود که بیشترین وارونگی دما در فصل تابستان و کمترین آن در فصل بهار رخداده است. بهرروی، وارونگی‌های بسیار شدید در فصل پاییز و زمستان رخداده است. بیشترین فراوانی وارونگی‌های تابشی و فرونژینی در دوره مطالعه در فصل تابستان مشاهده شده است. وارونگی دمایی در زمستان ضخامت کمتر و شدت بیشتری دارد همچنین روزهای با تداوم پدیده می‌تواند سهم زیادی در پایداری هوا در لایه‌های نزدیک سطح زمین بهویژه در فصول سرد سال و مuplicات ناشی از آن داشته باشد.

وازگان کلیدی: وارونگی دما، شدت وارونگی، عمق وارونگی، تهران.

مقدمه

با توجه به ترکیب جو در لایه‌های مختلف و فعل و افعالات درون آن، گرادیان قائم دما در تمام لایه‌های جو یکسان نیست، در تروپوسفر پایینی که نزدیک ترین لایه به سطح زمین است در حالت طبیعی دما از سطح زمین با افزایش ارتفاع کاهش می‌یابد، اگر به هر دلیلی این روند طبیعی بهم خورده و دما با افزایش ارتفاع کاهش نیافته یا افزایش یابد، در این شرایط هوای مجاور سطح زمین سرددتر از سطوح بالایی جو بوده و در نتیجه این حالت حرکات عمودی جو متوقف و هوای سطح زمین به حالت پایدار می‌رسد و با توجه به تزریق دائم آلاینده‌ها به لایه‌مرزی، در شرایط پایداری غلظت آلاینده‌ها به شدت افزایش می‌یابد و هر چه مدت زمان پایداری افزایش یابد و ارتفاع پایداری کمتر باشد مانع اختلاط این سطح با سطوح بالاتر جو شده و در نتیجه آلدگی هوا تشديد می‌شود. مهم‌ترین عامل اقلیمی مؤثر در آلدگی هوای تهران وارونگی‌های دمایی هست که به دو صورت تابشی و فرونژینی ایجاد می‌شوند.

در بررسی وارونگی‌های دمایی تعیین روند میانگین دمای هوای تعیین نیم‌رخ دمای عمودی از اهمیت ویژه‌ای برخوردار است، که این کار در ایستگاه‌های جو بالای سازمان هواشناسی کشور انجام می‌گیرد.

از جمله مطالعات صورت گرفته در زمینه وارونگی‌های دمایی بررسی وارونگی‌های مجاور سطح زمین مربوط به دو ایستگاه واقع در سواحل شمال آلاسکا است که نشان داد ضخامت و توسعه وارونگی‌های سطح پایین آلاسکا به واکنش‌های پیچیده بین نیروی تابشی، فعالیت سینوپتیکی و دینامیکی بین و دریا مربوط می‌شود (Jonathan, 1989).

کانکانا^۱، (۲۰۰۷)، بورن^۲، (۲۰۰۸)، باطناله وارونگی‌های سطح پایین آلاسکا نشان دادند که پوشش ابری بر روی ساختار وارونگی‌ها تأثیر می‌گذارد گسترش پوشش ابری باعث برگشت امواج بلند زمینی به سطح زمین شده، در نتیجه با گرمایش زمین وارونگی‌ها ضعیف و با کاهش و یا عدم وجود ابر وارونگی تشدید می‌شود. فریتز^۳ (۲۰۰۶) نیز وارونگی‌های دماهای سطح پایین اتمسفر و پایداری‌های جوی و اثرات آن در کاربردهای کشاورزی را بررسی کردد. یاکوبلیس^۴، (۲۰۰۹) باطناله تغییر اقلیم و تأثیر آن بر روی وارونگی‌های دمای سطح پایین کالیفرنیا طی سال‌های ۱۹۶۰-۲۰۰۷ نتایج نشان داد که همبستگی شدید بین سیستم‌های جوی بزرگ مقیاس و وقوع پدیده وارونگی وجود دارد به طوری که وقوع وارونگی شدید همواره با سیستم‌های پرفسار و وارونگی‌های ضعیف با سیستم‌های کم‌فشار همراه است. یاسمین^۵، (۲۰۱۱) در پژوهشی تحت عنوان بررسی تغییرات لایه وارونگی دما طی سال‌های ۲۰۰۰-۲۰۰۹ و تأثیر آن بر کیفیت هوای در شهر ساحلی کراچی پاکستان نشان داد که بیشترین فراوانی وارونگی‌های دمایی در فصل مونسون (جوالی تا سپتامبر) روی کراچی رخداده است و بیشترین رخدادها در شب و ساعت ۰۰-۰۰ و ۱۸ گرینویچ اغلب در ماه‌های تابستان و به طور عمده در سطح فشار ۸۵۰-۹۵۰ هکتوپاسکال بوده است. کوبر^۶ (۲۰۱۳) با بررسی تأثیر وارونگی‌های دمایی بر آلودگی هوا در شهر سیبونشان داد که به علت موقعیت فرورفته فلات ترانسیلوانیا، وارونگی‌های دمایی باعث بروز دماهای بسیار پایین و همچنین ایجاد یک لایه هوای پایدار می‌شوند که با بررسی غلظت آلاینده‌های دی‌اکسید گوگرد SO_2 ، دی‌اکسید نیتروژن NO_2 ، مونوکسید کربن CO و اوزون O_3 در روزهای با وارونگی دما و بدون وارونگی مشخص شد که با وقوع وارونگی دما، فشار بالای جو و سرعت پایین باد غلظت دو مورد از آلاینده‌ها به شدت افزایش می‌یابد. ویلیامز و تورپ^۷ (۲۰۱۵) با بررسی ویژگی‌های وارونگی‌های دمایی شبانه فصل بهار در محدوده عرض‌های جغرافیایی بالا در دو شیب شمال و جنوب درهای در نزدیکی کوو در فنلاند در یک دوره ۱۰ روزه در مارس ۲۰۱۴ نشان دادند که وارونگی‌های دمایی قوی در برخی شب‌ها عمدها در روز بعد از بین می‌رود اما در دوره‌های معتدل و خیلی مربوط این توده‌های هوایی در CAP (Biшتر در دره می‌مانند. تجزیه و تحلیل داده‌ها ۷ ساله توسط برومرو شولتز^۸، (۲۰۱۵) صورت گرفت، وارونگی دما اندازه‌گیری شده در ارتفاع ۲۸۰ متری در ایستگاه هواشناسی هامبورگ نشان داد که واگرایی جریان تابشی فرآیند بسیار مهمی برای تشکیل و انجام لایه وارونگی دما هست.

زنگو ژانگ^۹، (۲۰۱۷) باطناله تأثیر عناصر هواشناسی بر تداوم آلودگی‌های سنگین هوا در منطقه چنگدو چین در جشن بهار سال ۲۰۱۴ نشان داد که نه تنها فاکتورهای سطحی هواشناسی، بلکه ساختار لایه مرزی و وجود وارونگی‌های دمایی نقش مهمی در انتشار عمودی آلاینده ایفا می‌کند.

¹Kankanala

²Bourne

³Fritz

⁴Iacobellis

⁵Yasmeen

⁶Kober

⁷Williams & Thorp

⁸Brümmer & Schultze

⁹Zeng & Zhang

از دیگر کارهایی که در زمینه اینورژن انجام شده است می‌تواند به تحقیق محسنی (۱۳۶۶) با عنوان تأثیر عوامل جوی بر آلودگی هوای تهران و بررسی آلودگی هوای تهران در رابطه با پایداری و وارونگی دمای جو (اینورژن) اشاره کرد نتایج حاصل نشان می‌دهد که در زمان‌هایی که تعداد وارونگی زیاد و ضخامت لایه وارونگی کم باشد میزان آلودگی افزایش می‌باید و بیشترین وارونگی‌ها در پاییز و زمستان اتفاق می‌افتد (انصافی مقدم، ۱۳۷۲). بررسی و تحلیل الگوی سینوپتیکی وارونگی‌های شهر تهران نشان داد که چهار الگوی سینوپتیکی باعث ایجاد وارونگی‌های شدید دمایی در تهران است (هدایت و لشکری، ۱۳۸۵). نقش اقلیم و ساختار جغرافیایی در آلودگی هوای شهر تهران توسط پوراحمد مورد بررسی قرار گرفته است (پوراحمد، ۱۳۷۷). در تحقیق دیگر صفوی و علیجانی (۱۳۸۵) عوامل جغرافیایی در آلودگی هوای تهران را بررسی کردند، نتایج این مطالعه نشان داد که ویژگی‌های طبیعی شهر اثر بسیار زیاد در آلودگی آن دارد وارونگی‌های دمایی که از ویژگی‌های دوره سرد سال است به همراه آنتی سیکلون‌ها هوای پایدار ایجاد می‌کند.

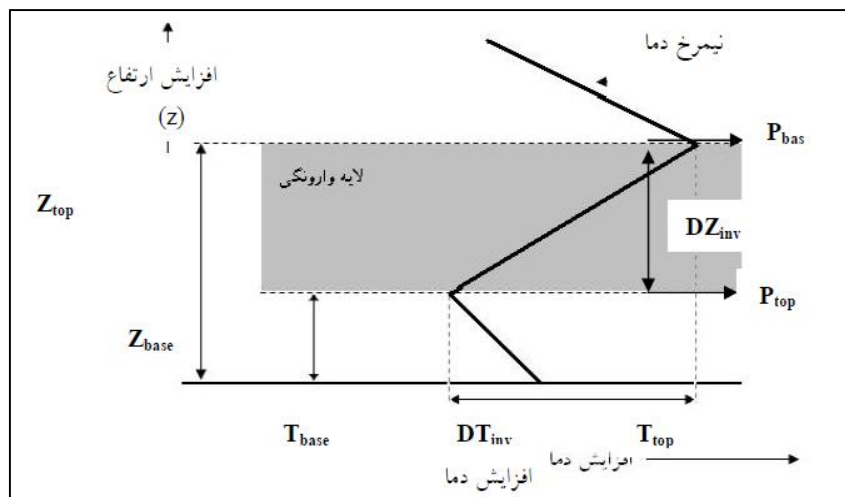
قسami (۱۳۸۹) به مطالعه تغییرات شیو (گرادیان) قائم دمای پتانسیل در لایه مرزی برای شرایط شباهن و ناپایدار روزانه در چند دوره بحرانی آلودگی هوای تهران پرداختند. وضعیت و شدت وارونگی‌های سطح پایین شهر تبریز طی دوره ۲۰۰۸-۲۰۰۴ توسط جهانبخش و روشنی (۱۳۹۲) بررسی شد و نتایج این پژوهش نشان داد که اکثر وارونگی‌ها بسیار شدید که در فصل زمستان اتفاق افتاده‌اند از نوع تابشی بوده و ۷۰ درصد وارونگی‌های دمای دو مرحله‌ای که نقش ویژه‌ای در تداوم وارونگی دارند در فصل زمستان به‌ویژه در ماه ژانویه رخ می‌دهد. تحلیل رابطه بین ضخامت و ارتفاع وارونگی و شدت آلودگی در شهر تهران را کیخسروی و لشکری (۱۳۹۳) انجام دادند و به این نتیجه رسیدند که زمانی که ارتفاع لایه وارونه به سطح زمین نزدیک شده است برشدت آلودگی هوا افزوده شده است، این مسئله در وارونگی‌های انتقالی به طور چشمگیری برشدت آلودگی هوا افزوده است، در وارونگی‌های با منشأ دینامیکی، شرایط اقلیمی حاکم به گونه‌ای بوده است که پایداری عمیق در لایه‌های نزدیک سطح زمین ایجاد نموده است. دلجو (۱۳۷۹) در پژوهش خویش بیان می‌کند که حداقل ارتفاع اینورژن در اوخر پاییز و اوایل زمستان رخ می‌دهد و ارتفاع اینورژن با شدت آن همبستگی منفی دارد.

بررسی شرایط الگوی سینوپتیکی حاکم بر وضعیت‌های دمای بسیار شدید شهر تبریز را جهانبخش اصل و روشنی (۱۳۹۳) انجام دادند و به این نتیجه رسیدند که با بررسی سیستم‌های سینوپتیکی که منجر به بروز پدیده وارونگی دما می‌شوند و از طریق شناسایی الگوهای حاکم بر آن می‌تواند وقوع وارونگی‌های دمای بسیار شدید را پیش‌بینی و الگوهای منجر به آلودگی را شناسایی کرد. در پژوهش دیگر نگارندگان که به بررسی لایه مرزی شهر تهران پرداخته شده است، مشخص شد که شدیدترین وارونگی‌ها در پاییز به وقوع پیوسته و لایه وارونگی دما در فصل پاییز کمترین فاصله با سطح زمین را دارد (طاوسی، حسین‌آبادی، ۲۰۱۶). شهر تهران با مساحتی حدود ۸۰۰ کیلومترمربع در دامنه جنوبی البرز در یک محیطی نیمه‌بسنده قرار دارد (سعید نیا، ۱۳۶۸). ارتفاع شهر در جنوب در فرودگاه مهرآباد ۱۲۰۰ متر و در شمال به ۲۰۰۰ متر می‌رسد کوههای البرز در شمال و شمال شرق آن به عنوان سدی جلو بادهای غربی را سد کرده و سبب می‌شوند که همه آلاینده‌ها در سطح شهر باقی بمانند. وجود شرایط وارونگی فراوان و استقرار مداوم سیستم‌های پرفشار در طول سال همه از ویژگی‌های طبیعی منطقه هستند که نمی‌توان آن‌ها را تعدیل کرده و یا از بین برد (صفوی و علیجانی، ۱۳۸۵). ارتفاع تهران از سطح دریا در حدود ۹۰۰ تا ۱۸۰۰ متر است. این اختلاف سطح به علت گستردگی و وسعت زیاد این شهر است. ارتفاعات البرز شمالی و کوههای محدود بی‌بی شهربانو دیواره شرقی شهر را تشکیل می‌دهند؛ اما نواحی جنوبی و غربی تهران چندان مرتفع نیست (ثنایی و همکاران، ۱۳۹۴).

ساخت توپوگرافی شهر تهران نقش غیرقابل انکاری در تشید آلودگی و فراوانی روزهای اینورژنی شهر تهران دارد. وجود ارتفاعاتی که به صورت نعل اسپی شهر تهران را در بر گرفته است سبب می‌شود بادهای محلی نتوانند هوای آلوده را از شهر خارج نمایند و بخش اعظم هوای آلوده تا زمان وزش بادهای تند میان شمال و جنوب شهر جابجا شود (محسنی، ۱۳۶۶).

روش تحقیق

در این پژوهش داده‌های رادیوسوند جو بالای ایستگاه مهرآباد برای ساعت ۰۰ گرینویچ ($3/5$ محلی) و ساعت ۱۲ گرینویچ ($15/5$ محلی) طی سال‌های ۲۰۱۴-۲۰۱۰ در مقیاس روزانه، ماهانه و فصلی از دانشگاه وایومینگ^۱ اخذ و مورد استفاده قرار گرفت. این داده‌ها شامل شاخص‌های ترمودینامیکی از قبیل شاخص SI، KI و TT بودند. همچنین دیگر داده‌های استفاده شده، اطلاعات مخابره شده رادیوسوند شامل ارتفاع پایه وارونگی از سطح زمین به متر (Zbase)، ارتفاع رأس وارونگی از سطح زمین به متر (Ztop) (مقدار دما در پایه و رأس لایه وارونگی به درجه سلسیوس (Tbase)، اختلاف دما بین پایه رأس لایه وارونگی به درجه سلسیوس (DTinv)، عمق لایه وارونگی به متر (DZinv) و رأس لایه وارونگی (Ptop) (حداکثر تا ارتفاع ۷۰۰ هکتوپاسکال است.



شکل ۱- نیمرخ وارونگی دمای هوای

(Iacobellis et all, 2009)

ابتدا روزهای دارای شرایط پایداری با استفاده از شاخص‌های ترمودینامیکی SI، KI و TT استخراج گردید، سپس به منظور بررسی صحت کار با استفاده از داده‌های پروفایل دما روزهای دارای شرایط وارونگی برای هر یک از ماه‌ها در سال‌های مورد بررسی استخراج شد.

در مرحله بعد روزها بر حسب نوع وارونگی تقسیم‌بندی شد وارونگی‌هایی را که از سطح زمین شروع شده و تا ارتفاع ۵۰ متری سطح زمین ادامه داشتند، به عنوان وارونگی تابشی^۲ و وارونگی‌هایی که پایه آنها از ارتفاع ۵۰ متری شروع می‌شدند، به عنوان وارونگی فرونشینی^۳ در نظر گرفته شد (جهانبخش اصل و همکاران، ۱۳۹۲). وارونگی‌های تابشی براثر سرد شدن شدید زمین تشکیل می‌شوند و وارونگی‌های فرونشینی عمدتاً براثر استقرار سیستم‌های پایدار جوی پرفشارها و زبانه‌های آنها ایجاد می‌شوند. هر دو پدیده ویژگی اصلی دوره سرد سال هستند (دلجو، ۱۳۷۸). سپس وارونگی‌ها بر حسب شدت با استفاده از پارامترهای مختلف

¹. weather.uwyo.edu/upper air/sounding.htm

². Radiation Inversion

³. Subsidence Inversion

تقسیم‌بندی گردید یکی از شاخص‌های مورد استفاده برای طبقه‌بندی وارونگی‌ها رابطه (۱) است که برای محاسبه شدت وارونگی از سه پارامتر ضخامت، عمق وارونگی و اختلاف دما استفاده شد (جهانبخش، ۱۳۹۲).

$$I = \frac{(\Delta\theta)^2}{3+Z(\Delta z)} \quad (1)$$

$\Delta\theta$ اختلاف دمای پتانسیل رأس و پایه وارونگی به درجه کلوین

ΔZ ضخامت لایه وارونگی به متر

Z ارتفاع ایستگاه به هکتو‌متر

$$\theta = T - \left(\frac{1000}{P} \right)^{0.286} \quad (2)$$

θ دمای پتانسیل به درجه کلوین

T دما به کلوین

P فشار هوا به هکتوپاسکال

شاخص مورد استفاده بعدی برای طبقه‌بندی وارونگی‌ها رابطه (۳) است که برای محاسبه شدت وارونگی از دو پارامتر اختلاف دمای پتانسیل و عمق وارونگی استفاده شد و لایس ریت نامیده می‌شود:

$$\frac{\Delta\theta}{\Delta Z} \quad (3)$$

شرط پایدار $\Delta\theta/\Delta Z > 0$

شرط ناپایدار $\Delta\theta/\Delta Z < 0$

شرط خنثی $\Delta\theta/\Delta Z = 0$

منطقه مورد مطالعه

شهر تهران با مساحتی حدود ۸۰۰ کیلومترمربع در جنوب کوه‌های البرز واقع شده است. از نظر جغرافیایی در $51^{\circ} ۳۸' \text{ تا } ۵۱^{\circ} ۶'$ طول شرقی و $۳۴^{\circ} ۰۳' \text{ تا } ۳۵^{\circ} ۵۱'$ عرض شمالی قرار گرفته است. ارتفاع تهران از سطح دریا در حدود ۹۰۰ تا ۱۸۰۰ متر است. این اختلاف سطح به علت گستردگی و وسعت زیاد این شهر است. ارتفاعات البرز شمالی و کوه‌های محدود بی‌بی شهر بانو دیواره شرقی شهر را تشکیل می‌دهند؛ اما نواحی جنوبی و غربی تهران چندان مرفوع نیست (ثنایی و همکاران، ۱۳۹۴).

مبانی نظری

دمای هوای محیط در تروپوسفر معمولاً با افزایش ارتفاع کاهش می‌یابد (به ازای هر ۱۰۰۰ متر افزایش ارتفاع بین ۵ الی ۶ درجه سلسیوس دما کاهش می‌یابد) ولی گاهی با افزایش ارتفاع، دمای هوای افزایش یافته که به این وضعیت وارونگی دمایی یا اینورژن می‌گویند (Pankajakshan et al, 1999). می‌توان گفت معیار تشخیص ارزیابی این پدیده، دو فاکتور ارتفاع و تغییرات دما هست که در حالت وقوع پدیده وارونگی دمایی این پدیده‌ها با یکدیگر ارتباط مستقیم دارند (Nodz et al, 2006).

یافته‌های تحقیق

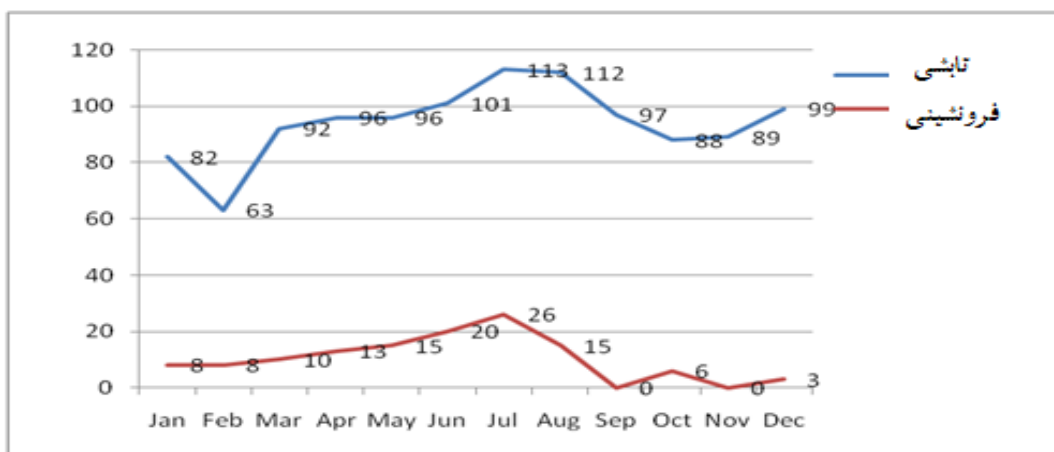
فراوانی وارونگی‌های دمای تابشی و فرونژینی طی سال‌های ۲۰۱۰-۲۰۱۴ نشان می‌دهد (جدول ۱). همان‌طور که ملاحظه می‌شود فراوانی وارونگی‌های دمایی در هرسال متفاوت است. با توجه به این جدول بیشترین وارونگی‌ها در سال ۲۰۱۴، ۲۰۱۲ و کمترین وارونگی در سال ۲۰۱۲ با ۲۰۲ مورد مشاهده شده است در این بین سهم وارونگی تابشی بیشتر از وارونگی فرونژینی

ارزیابی شاخص‌های وارونگی دمای لایه مرزی هوای شهر تهران ۱۲۵/

است. شکل ۲ فراوانی وارونگی‌های دمای تابشی و فرونشینی ماهانه طی سال‌های ۲۰۱۰-۲۰۱۴ را نشان می‌دهد. با توجه به نمودار، بیشترین فراوانی وارونگی دمای تابشی در جولای (۱۱۳ مورد) و کمترین میزان وارونگی دمایی در فوریه (۶۳ مورد) در دوره مورد مطالعه مشاهده شده است. به طور کلی همه ماه‌های سال درصدی از وارونگی تابشی را دارا می‌باشند. بیشترین فراوانی وارونگی‌های فرونشینی مربوط به ماه جولای (۲۶ مورد) است و در ماه‌های سپتامبر و نوامبر هیچ وارونگی فرونشینی مشاهده نشده است.

جدول ۱- مشخصات وارونگی‌های دمایی شهر تهران ۲۰۱۰-۲۰۱۴

سال	فراوانی	وارونگی تابشی	وارونگی فرونشینی	ارتفاع پایه وارونگی (متر)				ارتفاع رأس وارونگی (متر)				ضخامت (متر)			
				حداکثر	میانگین	حداکثر	میانگین	حداکثر	میانگین	حداکثر	میانگین	حداکثر	میانگین	حداکثر	میانگین
۲۰۱۰	۲۰۴	۱۸۷	۱۷	۱۷۰۹	۱۴۵۰	۱۱۹۱	۲۰۰۷	۱۳۳۳	۱۲۰۰	۸۱۶	۱۳۳	۹			
۲۰۱۱	۲۳۰	۱۹۹	۳۱	۱۷۱۹	۱۴۵۵	۱۱۹۱	۱۹۲۲	۱۳۶۸	۱۲۰۰	۶۷۱	۱۵۴	۹			
۲۰۱۲	۲۰۲	۱۹۱	۱۱	۱۵۶۷	۱۳۷۹	۱۱۹۱	۲۰۹۹	۱۳۴۸	۱۲۰۰	۵۳۲	۱۴۶	۹			
۲۰۱۳	۲۴۱	۱۹۷	۴۴	۱۸۲۶	۱۵۰۸	۱۱۹۱	۲۰۲۹	۱۳۵۰	۱۲۰۰	۵۳۱	۱۲۸	۹			
۲۰۱۴	۲۸۱	۲۵۶	۲۵	۲۴۸۴	۱۸۳۷	۱۱۹۱	۲۸۱۱	۱۳۱۹	۱۲۰۰	۷۱۱	۱۰۹	۹			
میانگین	۲۳۱	۲۰۶	۲۵	۱۸۶۱	۱۵۲۵	۱۱۹۱	۲۱۷۳	۱۳۴۳	۱۲۰۰	۶۵۲	۱۳۴	۹			



شکل ۲- میانگین ارتفاع و فراوانی وارونگی‌های تابشی و فرونشینی در ماه‌های مختلف سال

جدول ۲- مشخصات وارونگی‌های دما در فصول مختلف سال شهر تهران طی ۲۰۱۰-۲۰۱۴

زمستان	پاییز	تابستان	بهار	مشخصات
۲۵۱	۲۵۳	۳۵۵	۲۴۳	مجموع وارونگی
۲۲۷	۲۴۵	۲۹۹	۲۱۱	وارونگی تابشی
۲۴	۸	۵۶	۳۲	وارونگی فرونشینی
۱۲۱۶	۱۱۹۶	۱۲۱۱	۱۲۱۲	متوسط ارتفاع پایه(متر)
۱۳۳۴	۱۳۱۹	۱۳۵۳	۱۳۶۳	متوسط ارتفاع رأس(متر)
۱۱۸	۱۲۲	۱۴۲	۱۵۰	متوسط ضخامت(متر)

مشخصات وارونگی‌های دمایی فصول مختلف سال شهر تهران نشان می‌دهد که در تمام فصول سال در شهر تهران وارونگی دمایی مشاهده می‌شود (جدول ۲)، در فصول تابستان، پاییز، زمستان و بهار به ترتیب بیشترین تا کمترین فراوانی وارونگی

مشاهده شده است؛ که از این میان سهم وارونگی‌های تابشی در فصل تابستان و سپس پاییز از فصول دیگر بیشتر است، کمترین وارونگی تابشی هم در فصل بهار (۲۱۱ مورد) مشاهده شده است. در دوره موردنی مطالعه فصل تابستان و سپس پاییز دارای بیشترین سهم وارونگی فرونشینی است کمترین وارونگی‌های فرونشینی در بهار مشاهده شده است. ارتفاع رأس وارونگی و ضخامت آن در فصول بهار و تابستان بیشتر از فصول دیگر است. ارتفاع پایه لایه وارونگی در فصل پاییز در مقایسه با فصول دیگر به سطح زمین نزدیک‌تر است، در فصول زمستان و پاییز ضخامت لایه وارونگی کاهش یافته است.

جدول ۳- میانگین دمای پایه و رأس لایه وارونگی و اختلاف آن‌ها طی سال‌های ۲۰۱۰-۲۰۱۴

متوسط دمای پایه لایه وارونگی به درجه سلسیوس (Tbase)												
سال	Jan	Feb	Mar	Apr	May	June	July	Aug	Sept	Oct	Nov	Dec
۲۰۱۰	۶/۸	۶/۱	۱۲/۸	۱۴/۳	۱۸/۹	۲۵/۲	۲۶/۴	۱۸/۸	۹/۵	۷/۱	۹/۴	۷/۱
۲۰۱۱	۳/۳	۳/۴	۸/۲	۱۵/۷	۲۰/۴	۲۱/۷	۲۹/۲	۲۷/۳	۲۲/۶	۱۴/۹	۶/۶	۲/۹
۲۰۱۲	۲/۱	۲/۴	۷/۷	۱۵/۲	۲۰/۱	۲۳/۱	۲۷/۶	۲۸/۱	۲۴/۴	۱۹	۱۲/۱	۴/۴
۲۰۱۳	۴/۱	۶/۸	۱۴/۷	۱۶/۳	۱۸/۱	۲۲/۸	۲۶/۶	۲۵/۳	۲۵/۲	۱۵/۸	۱۱/۸	۳/۹
۲۰۱۴	۲/۸	۴/۸	۹/۵	۱۴/۵	۲۱/۹	۲۵/۵	۲۷/۵	۲۸	۲۳	۱۶/۹	۹/۵	۶/۹
میانگین	۳/۸	۴/۷	۱۰/۵	۱۵/۴	۱۹/۸	۲۳/۶	۲۷/۴	۲۵/۵	۲۰/۹	۱۴/۷	۹/۸	۵
متوسط دمای رأس لایه وارونگی به درجه سلسیوس (Ttop)												
۲۰۱۰	۸/۳	۷/۸	۱۵/۸	۱۶/۵	۲۰/۹	۲۷/۶	۲۹	۲۱/۸	۱۲/۷	۹/۳	۱۲/۶	۹/۳
۲۰۱۱	۴/۴	۵/۲	۹/۶	۱۷/۲	۲۲/۲	۲۳/۴	۳۱	۲۹/۸	۲۴/۹	۱۷	۷/۹	۴/۶
۲۰۱۲	۳/۵	۴/۴	۹/۳	۱۶/۸	۱۶/۴	۲۵/۱	۲۹/۸	۳۰/۱	۲۶/۱	۲۰/۷	۱۳/۵	۵/۸
۲۰۱۳	۶/۴	۸/۳	۱۵/۸	۱۷/۳	۲۰/۱	۲۶/۴	۳۰/۱	۲۷/۹	۲۷/۱	۱۸/۲	۱۳	۵/۶
۲۰۱۴	۴/۴	۶/۴	۱۰/۳	۱۵/۹	۲۳/۲	۲۷/۴	۳۰/۳	۳۱	۲۷	۲۱/۱	۱۷/۳	۱۶/۱
میانگین	۵/۴	۶/۴	۱۲/۱	۱۶/۷	۲۰/۵	۲۵/۹	۳۰	۲۸/۱	۲۳/۵	۱۷/۲	۱۲/۸	۸/۸
متوسط اختلاف دمای پایه و رأس لایه وارونگی به درجه سلسیوس (DTinv)												
۲۰۱۰	۱/۴	۱/۶	۳	۲/۱	۲	۲/۴	۲/۵	۳	۳/۲	۲/۱	۳/۲	۲/۱
۲۰۱۱	۱/۱	۱/۸	۱/۳	۱/۵	۱/۷	۱/۸	۱/۷	۲/۵	۲/۵	۲/۱	۱/۲	۱/۷
۲۰۱۲	۱/۴	۲	۱/۵	۱/۶	۱/۴	۱/۹	۲/۲	۱/۹	۱/۷	۱/۷	۱/۳	۱/۴
۲۰۱۳	۲/۳	۱/۵	۱	۱	۲	۳/۶	۳/۵	۲/۵	۱/۸	۲/۴	۱/۱	۱/۶
۲۰۱۴	۱/۵	۱/۵	۰/۸	۱/۳	۱/۲	۱/۸	۲/۸	۲/۹	۴	۴/۲	۷/۷	۹/۱
میانگین	۱/۵	۱/۶	۱/۵	۱/۵	۱/۶	۲/۳	۲/۵	۳	۲/۸	۲/۵	۴/۸	۳/۱
متوسط ارتفاع پایه لایه وارونگی به متر												
۲۰۱۰	۱۲۱۵	۱۲۲۲	۱۲۰۰	۱۱۹۸	۱۱۹۱	۱۱۹۳	۱۲۰۴	۱۱۹۱	۱۱۹۱	۱۱۹۱	۱۱۹۱	۱۱۹۱
۲۰۱۱	۱۲۳۴	۱۱۹۹	۱۲۰۸	۱۲۱۷	۱۲۳۸	۱۲۲۷	۱۲۳۱	۱۲۰۹	۱۱۹۱	۱۱۹۹	۱۱۹۱	۱۱۹۱
۲۰۱۲	۱۲۱۸	۱۲۱۳	۱۱۹۱	۱۱۹۱	۱۱۹۱	۱۱۹۸	۱۲۱۲	۱۲۱۱	۱۱۹۲	۱۱۹۹	۱۱۹۱	۱۲۲۶
۲۰۱۳	۱۲۲۰	۱۲۴۷	۱۲۱۰	۱۲۴۳	۱۲۲۳	۱۲۳۴	۱۲۲۱	۱۲۳۴	۱۱۹۴	۱۲۰۶	۱۱۹۱	۱۲۰۱
۲۰۱۴	۱۱۹۸	۱۱۹۱	۱۲۲۰	۱۲۲۰	۱۲۱۳	۱۲۳۹	۱۲۲۵	۱۱۹۶	۱۱۹۵	۱۱۹۶	۱۱۹۱	۱۲۱۳
میانگین	۱۲۱۷	۱۲۱۶	۱۲۰۵	۱۲۱۳	۱۲۱۴	۱۲۱۸	۱۲۱۸	۱۲۰۸	۱۱۹۲	۱۱۹۸	۱۱۹۱	۱۲۰۴

-۳ جدول امداد

متوسط ارتفاع رأس لایه وارونگی به متر														
۲۰۱۰	۱۳۶۸	۱۲۹۸	۱۳۳۵	۱۳۴۰	۱۳۴۸	۱۳۷۰	۱۳۸۹	۱۲۹۳	۱۲۵۵	۱۴۱۶	۱۲۵۴	۱۴۱۶		
۲۰۱۱	۱۲۲۵	۱۳۳۲	۱۳۱۰	۱۳۵۰	۱۳۸۴	۱۳۸۲	۱۳۷۹	۱۳۷۵	۱۳۷۱	۱۳۸۸	۱۳۵۱	۱۴۲۳		
۲۰۱۲	۱۳۰۱	۱۳۴۴	۱۳۵۴	۱۳۷۶	۱۳۵۷	۱۳۹۹	۱۳۳۸	۱۳۴۹	۱۳۳۹	۱۳۰۴	۱۲۹۵	۱۳۹۱		
۲۰۱۳	۱۲۴۹	۱۳۶۸	۱۳۲۳	۱۳۳۶	۱۳۶۲	۱۴۰۷	۱۴۰۲	۱۳۷۷	۱۳۰۸	۱۳۱۶	۱۲۲۸	۱۳۱۹		
۲۰۱۴	۱۲۹۵	۱۲۸۵	۱۴۴۴	۱۳۶۵	۱۳۲۵	۱۳۳۶	۱۳۳۰	۱۳۴۱	۱۳۱۰	۱۲۹۸	۱۲۶۴	۱۲۸۹		
میانگین														
۱۲۲۷	۱۳۲۵	۱۳۵۳	۱۳۵۳	۱۳۵۵	۱۳۷۸	۱۳۵۷	۱۳۴۷	۱۳۱۶	۱۳۴۴	۱۲۷۸	۱۳۶۷			
(مترا) وارونگی لایه رأس و ارتفاع پایه اختلاف متوسط														
۲۰۱۰	۱۵۴/۴	۶۶/۲	۱۳۴/۶	۱۴۲/۳	۱۵۷/۶	۱۷۶/۷	۱۸۵/۱	۱۰۲/۹	۶۴/۳	۲۲۵/۹	۶۳/۸	۲۲۵/۹		
۲۰۱۱	۹۰/۵	۱۳۳/۲	۱۰۱/۶	۱۳۲/۸	۱۴۵/۴	۱۵۵/۲	۱۴۷/۹	۱۶۶	۱۸۰/۹	۱۸۹/۵	۱۶۰/۳	۲۳۲/۳		
۲۰۱۲	۸۲/۹	۱۳۰/۵	۱۶۳/۷	۱۸۵	۱۶۶/۲	۲۰۰/۸	۱۲۶/۱	۱۳۷/۴	۱۴۶/۸	۱۰۴/۹	۱۰۴/۳	۱۶۵		
۲۰۱۳	۱۲۸/۶	۱۲۰/۶	۱۱۳	۹۵/۶	۱۲۹/۴	۱۷۲/۳	۱۸۰/۸	۱۴۲/۹	۱۱۳/۶	۱۰۹/۴	۹۶/۴	۱۱۷/۱		
۲۰۱۴	۹۷/۲	۹۴/۴	۱۵۵/۲	۱۴۴/۷	۱۱۲/۸	۹۷/۵	۱۰۴/۱	۱۴۵	۱۱۴/۸	۱۰۲	۷۳/۳	۹۷/۱		
میانگین														
۱۱۰/۷	۱۰۸/۹	۱۳۳/۶	۱۴۰	۱۴۲/۲	۱۶۰/۵	۱۴۸/۸	۱۳۸/۸	۱۲۴	۱۴۶/۳	۹۹/۶	۱۶۷/۴			

پارامترهای دمای وارونگی و اختلاف آنها به صورت ماهانه برای طبقه‌بندی وارونگی‌های دمایی بر اساس شدت محاسبه شد (جدول ۳). بر این اساس متوسط دمای پایه لایه وارونگی در ماه جولای با $27/4$ درجه سلسیوس بیشترین دما و در ماه ژانویه با $3/8$ درجه سلسیوس کمترین مقدار دما را دارا بوده است.

متوسط دمای رأس لایه وارونگی نیز در ماه جولای با 30 درجه سلسیوس بیشترین و در ماه ژانویه با $5/4$ درجه سلسیوس کمترین دما را به خود اختصاص داده است.

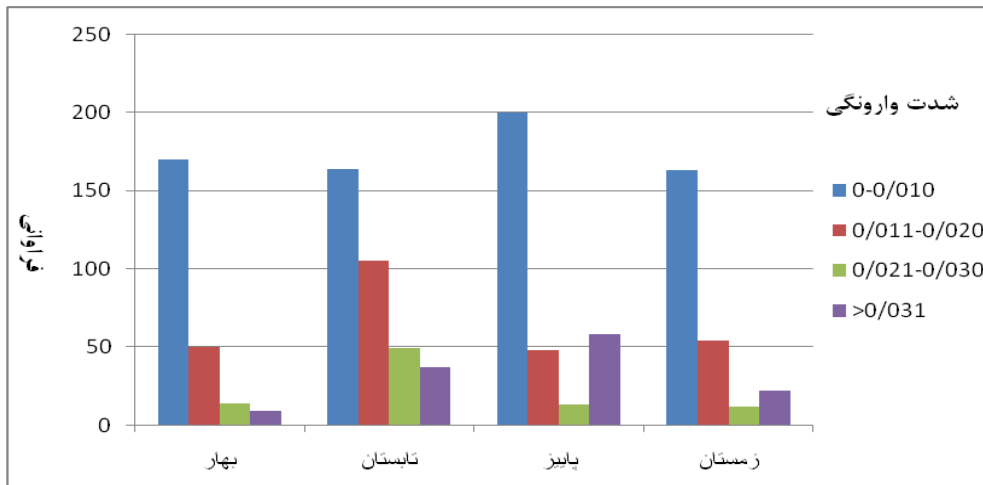
متوسط اختلاف دمای پایه و رأس لایه وارونگی می‌تواند نشان‌دهنده شدت وارونگی باشد به‌طوری که افزایش اختلاف دما معرف شدید بودن وارونگی دمایی است، در ماه نوامبر با $4/8$ درجه سلسیوس بیشترین و در ماه‌های ژانویه، مارس و آوریل با $1/5$ درجه کمترین مقدار اختلاف دما را داشته است. متوسط ارتفاع پایه لایه وارونگی در ماه نوامبر با 1191 متر به سطح زمین نزدیک‌تر بوده و در ماه می با 1459 متر به‌طور متوسط بیشترین فاصله را از سطح زمین در دوره مورد مطالعه داشته است. ارتفاع رأس لایه وارونگی در ماه ژوئن با 1378 متر بیشترین فاصله را از زمین دارد و در ماه نوامبر با 1278 متر کمترین فاصله از سطح زمین را دارا است.

متوسط اختلاف ارتفاع پایه و رأس لایه وارونگی که نشان‌دهنده ضخامت لایه وارونگی است، در ماه دسامبر با $167/4$ متر بیشترین ضخامت و در ماه نوامبر با $99/6$ متر کمترین ضخامت را داشته است.

سپس وارونگی‌های دمایی بر اساس شدت طبقه‌بندی شد بر این اساس ابتدا پارامترهای اختلاف دمای پتانسیل رأس و پایه وارونگی به درجه کلوین و ضخامت لایه وارونگی به متر برای هر یک از ماه‌های سال محاسبه شد (جدول ۱)، سپس با استفاده از رابطه (۱) شدت وارونگی محاسبه شد که نتایج آن در جدول (۴) نشان داده شده است. از مجموع 1168 مورد وارونگی مشاهده شده

در دوره آماری ۲۰۱۰-۲۰۱۴، ۶۹۷ مورد وارونگی‌های ضعیف که شدت آن بین (۰/۰۰-۰/۱۰) است و ۵۹/۷ درصد کل وارونگی‌ها است و بیشترین وارونگی‌های ضعیف اتفاق افتاده در دوره موردنظر در فصل پاییز قرار دارد.

۲۲ درصد وارونگی‌ها دارای شدت متوسط (۰/۰۱-۰/۰۲) که بیشترین آن‌ها در تابستان به وقوع پیوسته است، ۷/۵ درصد وارونگی‌ها شدید هستند (۰/۰۲-۰/۰۳)، که حداکثر این نوع وارونگی نیز در فصل تابستان صورت گرفته است، ۱۰/۸ درصد وارونگی‌ها از نوع خیلی شدید می‌باشند که بیشترین فراوانی آن در فصل پاییز مشاهده شده است.



شکل ۳- فراوانی وارونگی‌های دمایی شهر تهران بر اساس شدت وارونگی طی سال‌های ۲۰۱۰-۲۰۱۴

از مجموع وارونگی‌های اتفاق افتاده در دوره آماری ۲۰۱۰-۲۰۱۴، ۱۲۶ مورد شدت بسیار زیاد داشته‌اند. تعداد وارونگی‌های بسیار شدید اتفاق افتاده در فصول مختلف سال نشان می‌دهد که ۵۸ درصد وارونگی‌های بسیار شدید در فصل پاییز و زمستان، ۱۷ درصد آن در فصل تابستان و کمترین وارونگی‌های بسیار شدید در فصل بهار (۷ درصد) اتفاق افتاده است (جدول ۴).

جدول ۴- فراوانی و درصد وقوع وارونگی‌های دمایی بسیار شدید طی سال‌های ۲۰۱۰-۲۰۱۴

مشخصات	مشخصات											
	ماه	ماه	ماه	ماه	ماه	ماه	ماه	ماه	ماه	ماه	ماه	ماه
وارونگی بسیار شدید	۳	۲	۱	۳	۲	۱	۳	۲	۱	۳	۲	۱
درصد	۱۶	۲۴	۱۸	۱۱	۷	۱۹	۳	۴	۲	۶	۶	۱۰
	۴۶/۲				۱۷/۴		۷/۱			۲۹/۳		

بررسی داده‌های رادیوسوند جو بالای ایستگاه مهرآباد برای ساعت ۰۰ گرینویچ (۳/۵ محلی) و ساعت ۱۲ گرینویچ (۱۵/۵ محلی) نشان داد در بعضی روزها، پدیده وارونگی دمایی که در ساعت ۰۰ گرینویچ شروع شده تا ساعت ۱۲ گرینویچ ادامه می‌یابد.

جدول ۵- تعداد روزهای دارای تداوم وارونگی

فرابنی روزهای دارای تداوم وارونگی از ساعت ۰۰ تا ۱۲ گرینویچ													مجموع
سال	Jan	Feb	Mar	Apr	May	June	July	Aug	Sept	Oct	Nov	Dec	
۲۰۱۰	۲	۲	۰	۰	۰	۰	۰	۰	۰	۰	۱	۰	۵
۲۰۱۱	۲	۰	۱	۰	۴	۶	۳	۱	۰	۰	۰	۰	۱۵
۲۰۱۲	۰	۱	۰	۰	۰	۰	۳	۴	۲	۲	۱	۱	۱۴
۲۰۱۳	۱	۱	۴	۴	۱	۱	۰	۱	۱	۱	۳	۰	۱۸
۲۰۱۴	۰	۰	۳	۲	۴	۳	۶	۶	۰	۱۰	۷	۱۴	۵۵

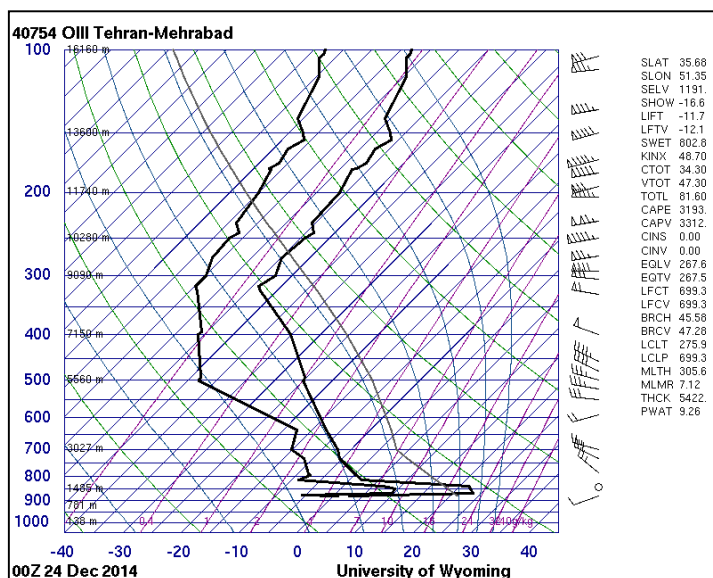
ارزیابی شاخص‌های وارونگی دمای لایه مرزی هوای شهر تهران/۱۲۹

(۳) روزهای سال بر اساس شرایط مختلف سپس با استفاده از دو پارامتر اختلاف دمای پتانسیل و عمق وارونگی رابطه پایداری، ناپایداری و خنثی طبقه‌بندی شد. بر این اساس از کل روزهای سال ۶۰ درصد روزها دارای شرایط پایدار، ۳۹ درصد روزها شرایط ناپایدار و کمتر از یک درصد روزها شرایط خنثی دارند.

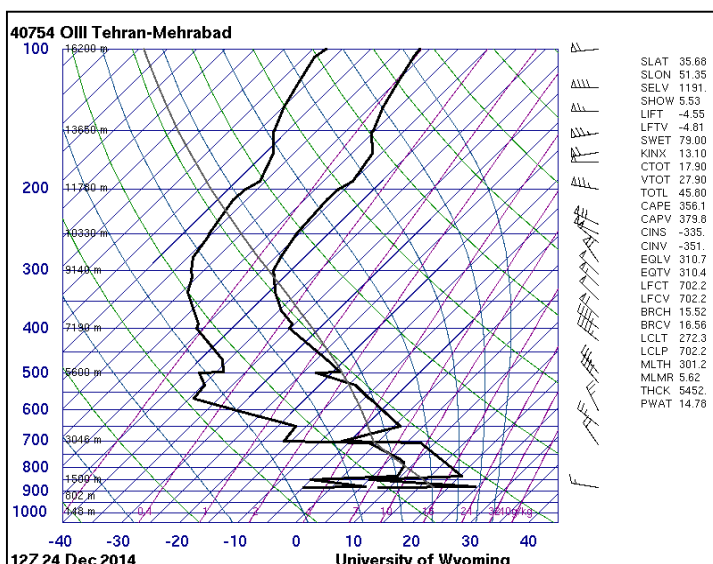
جدول ۶- طبقه‌بندی روزها بر اساس شرایط پایداری و ناپایداری

$\frac{\Delta\theta}{\Delta Z}$	شرایط	فراآنی	مجموع فراآنی	درصد			
زمستان	بهار	تابستان	پاییز				
$\frac{\Delta\theta}{\Delta Z} > 0$	پایدار	۲۵۱	۲۴۰	۳۵۳	۲۵۲	۱۰۹۶	۶۰
$\frac{\Delta\theta}{\Delta Z} < 0$	شرایط ناپایدار	۱۹۳	۲۲۲	۱۱۱	۱۹۶	۷۲۲	۳۹/۵
$\frac{\Delta\theta}{\Delta Z} = 0$	شرایط خنثی	۲	۳	۱	۲	۸	۰/۵

در ادامه دو نمونه از نمودارهای اسکیو تی مربوط به روز ۲۴ دسامبر ۲۰۱۴ که دارای تداوم وارونگی و وارونگی از نوع بسیار شدید می‌باشد آورده شده است:



شکل ۴- نمودار اسکیو تی ساعت ۰۰ گرینویچ روز ۲۴ دسامبر ۲۰۱۴ ایستگاه مهرآباد



شکل ۵- نمودار اسکیو تی ساعت ۱۲ گرینویچ روز ۲۴ دسامبر ۲۰۱۴ ایستگاه مهرآباد



همان طور که ملاحظه می شود در نمودار مربوط به ساعت صفر گرینویچ روز ۲۴ دسامبر سال ۲۰۱۴ وارونگی دمایی از ارتفاع ۱۱۹۱ متری (سطح زمین) شروع شده و تا ارتفاع ۱۳۲۴ متری ادامه یافته است دمای پایه وارونگی برابر با ۲/۸ درجه سانتی گراد و دمای رأس وارونگی برابر ۲۳/۶ درجه سانتی گراد هست ضخامت لایه وارونگی در این ساعت به ۱۳۳ متر و اختلاف دمای پایه و رأس لایه وارونگی ۲۰/۸ درجه سانتی گراد است و میزان شدت وارونگی با استفاده از رابطه (۱) محاسبه و برابر با ۰/۳۳ هست که جزو وارونگی های بسیار شدید قرار می گیرد (جدول ۴). در نمودار اسکو تی مربوط به ساعت ۱۲ گرینویچ مربوط به همان روز ۲۴ دسامبر سال ۲۰۱۴ نیز وارونگی دمایی از ارتفاع ۱۱۹۱ متری (سطح زمین) شروع و تا ارتفاع ۱۲۲۸ متری ادامه می یابد دما پایه وارونگی برابر با ۸/۲ درجه سانتی گراد و در رأس لایه وارونگی به ۲۴/۶ درجه سانتی گراد می رسد ضخامت لایه وارونگی در ساعت ۱۲ گرینویچ به ۳۷ متر رسیده و اختلاف دمای پایه و رأس لایه وارونگی ۱۶/۴ درجه سلسیوس است و میزان شدت وارونگی محاسبه شده (رابطه ۱) برابر ۰/۶۸ است که نشان می دهد در ساعت ۱۲ گرینویچ ضخامت لایه وارونگی نسبت به ساعت صفر گرینویچ کاهش یافته و با تداوم وارونگی برشد آن افزوده شده است.

نتیجه گیری

نتایج این پژوهش نشان داد میانگین روزهای تؤام با پدیده وارونگی دما در دوره مورد مطالعه ۲۳۱ روز شامل ۸۹ درصد وارونگی تابشی ناشی از سرمایش شبانه سطح زمین و ۱۱ درصد وارونگی فرونشینی (پویشی) بوده است. نتایج گویای حاکمیت وارونگی دما در بیشتر روزهای سال به ویژه در فصل تابستان می باشد. تحقیق حاضر نشان داد تهران در تابستان بیشتر در معرض پدیده وارونگی دمای هوا قرار دارد و بیشترین وارونگی های تابشی و فرونشینی در دوره مورد مطالعه (۲۰۱۰-۲۰۱۴) در فصل تابستان مشاهده شده است. این امر می تواند به دلیل شرایط پایداری هوا در نتیجه استقرار پرفشار جنب حاره آزور در دوره گرم، وارونگی های فرونشینی را در ارتفاع بالاتر جو ایجاد کند. همچنین وارونگی های تابشی ماههای گرم به دلیل ذخیره گرما در پوشش سطح زمین (خاک) و نیز کوتاهی شب های تابستانی و تضعیف سرمایش تابشی شبانه سطح زمین، ضعیف و قابل چشم پوشی است. اما در دوره سرد سال، اغلب وارونگی ها به دلیل تراز منفی انرژی گرمایی پوشش سطح زمین (خاک) و نیز شب های بلند و در نتیجه تشدید سرمایش تابشی شبانه سطح زمین، پدیده وارونگی دمای هوای لایه مرزی در زمستان محسوس تر است. بررسی های انجام شده نشان می دهد که در شهر تهران ارتفاع رأس لایه وارونگی دمایی در طول سال در دوره آماری مورد مطالعه بین ۸۷-۱۸۷ متری سطح زمین متغیر بوده است؛ یعنی به طور متوسط حداقل آن در ارتفاع ۱۲۷۸ متری در ماه نوامبر و حداقل آن در ارتفاع ۱۳۷۸ متری در ماه ژوئن بوده است.

می توان چنین نتیجه گرفت که در تابستان به دلیل افزایش دمای هوا، رأس لایه وارونگی دمایی در ارتفاع بالاتر و لایه وارونگی دمایی از ضخامت بیشتری نسبت به زمستان برخوردار است. به عکس در زمستان به دلیل سردی هوا، رأس لایه وارونگی دمایی به زمین نزدیک تر و ضخامت آن نیز کمتر است. به طور کلی، وارونگی دمایی در زمستان ضخامت کمتر و شدت بیشتری دارد همچنین بررسی روزهای با تداوم پدیده وارونگی نشان داد که فراوانی این روزها در دوره ۲۰۱۰-۲۰۱۴ از ۵ مورد در سال ۲۰۱۰ به ۵۵ مورد در سال ۲۰۱۴ رسیده است و بیشترین فراوانی آن نیز در ماه دسامبر مشاهده شده است که این نوع از وارونگی ها به دلیل تداوم بیشتر می تواند سهم زیادی در پایداری هوا در لایه های نزدیک سطح زمین بهویژه در فصول سرد سال و معضلات ناشی از آن داشته باشند.

منابع و مأخذ

- انصافی مقدم، طاهره (۱۳۷۲)، بررسی آلدگی هوای تهران در رابطه با پایداری و وارونگی دمای جو (اینورژن)، پایان‌نامه کارشناسی ارشد جغرافیای طبیعی، دانشگاه تربیت مدرس.
- پوراحمد، احمد (۱۳۷۷)، نقش اقلیم و ساختار جغرافیایی در آلدگی هوای شهر تهران، پژوهش‌های جغرافیایی، شماره ۳۴، صص ۵۳-۳۸.
- ثنایی، مریم، خانمحمدی، مجید، محمدی، حسین (۱۳۹۴)، تحلیل اثر الگوی سینوپتیکی رخداد مخاطره‌آمیز موج گرمای تابستان ۱۳۹۲ و فوت ناشی از آلدگی شهر تهران، دانش مخاطرات، شماره ۱، صص ۶۷-۸۳.
- جهانبخش اصل، سعید، روشنی، رقیه (۱۳۹۲)، بررسی وضعیت و شدت وارونگی‌های سطح پایین شهر تبریز طی دور ۲۰۰۸ تا ۲۰۰۴، فصلنامه تحقیقات جغرافیایی، شماره ۴، صص ۴۵-۵۴.
- جهانبخش اصل، سعید، روشنی، رقیه (۱۳۹۳)، بررسی شرایط الگوی سینوپتیکی حاکم بر وضعیت وارونگی دمای بسیار شدید شهر تبریز، نشریه جغرافیا و برنامه‌ریزی، شماره ۴۸، صص ۸۱-۹۶.
- دلجو، امیر هوشنگ (۱۳۷۸)، مطالعه و بررسی وارونگی دما و نایدادری بر روی آلدگی هوای شهر تهران، پایان‌نامه کارشناسی ارشد دانشگاه آزاد اسلامی، تهران، ایران.
- سعید نیا، احمد (۱۳۶۸)، مکان شهر تهران، مجله محیط‌شناسی، شماره ۱۵، صص ۱-۱۰.
- صفوفی، یحیی، علیجانی، بهلول (۱۳۸۵)، بررسی عوامل جغرافیایی در آلدگی هوای تهران، پژوهش‌های جغرافیایی، شماره ۵۸، صص ۹۹-۱۱۲.
- قسامی، طاهره، بیدختی، علی اکبر، صداقت کردار، عبدالله، صحرائیان، فاطمه (۱۳۸۹)، بررسی تغییرات قائم دمای پتانسیل در چند دوره بحرانی آلدگی هوای تهران، مجله علوم و تکنولوژی محیط‌زیست، شماره ۳، صص ۱۳-۲۳.
- کیخسروی، قاسم، لشکری، حسن (۱۳۹۳)، تحلیل رابطه بین ضخامت ارتفاع وارونگی و شدت آلدگی هوای شهر تهران، جغرافیا و برنامه‌ریزی، شماره ۴۹، صص ۲۳۱-۲۵۷.
- محسنی، ذات الله (۱۳۶۶)، تأثیر عوامل جوی بر آلدگی هوای تهران، پایان‌نامه دانشکده ژئوفیزیک دانشگاه تهران، ایران.
- محمودی، فرج الله (۱۳۶۹)، سیمای طبیعی تهران، پژوهش‌های جغرافیایی، شماره ۲۶، صص ۴۷-۲۳.
- هدایت، پریسا، لشکری، حسن (۱۳۸۵)، تحلیل الگوی سینوپتیکی اینورژن‌های شدید شهر تهران، پژوهش‌های جغرافیایی، شماره ۵۶، صص ۸۲-۶۵.

- Bourne, S. M., (2008), A climate perspective of observed and modeled surface based temperature inversions in Alaska, M.S. Thesis, Department of Atmospheric Sciences, University of Alaska Fairbanks, 106.
- Brümmer, B., Schultze, M. (2015), Analysis of a 7-year low-level temperature inversion data set measured at the 280 m high Hamburg weather mast, Meteorologische Zeitschrift, Vol. 24, No. 5, pp. 481-494.
- Fritz, B.K. (2006), Meteorological effects on deposition and drift of aerially applied sprays, American Society of Agricultural and Biological Engineers, No. 5, pp. 1295-1301.
- Jonathan, D. K., (1990), Characteristics of the Low-level Temperature Inversion along the Alaskan Arctic Coast, International Journal of Climatology, No. 10, pp. 537-548.
- Kankanala, P. (2007), Doppler Sodar observations of the winds and structure in the lower atmosphere over Fairbanks, Alaska, M.S. Thesis Department of Atmospheric.
- Iacobellis, S.F., Norris, J.R., Kanamitsu, M., Tyree, M., Cayan, D.C. (2009), Climate Variability and California Low-level Temperature Inversions, California Climate Change Center, pp. 1- 47.
- Kober, A. U., (2013), the influence of temperature inversions on the air pollution in the city of Sibiu, Riscuri Catastrofice, vol. 12, pp. 36-45.
- Nodz, M.I, Ogino, S.Y., Yamanaka, M. (2006), Climatological Description of Seasonal Variations in Lower-Tropospheric Temperature Inversion Layers over the Indochina Peninsula, Journal of Climate, No. 24, pp. 3211-3223.
- Pankajakshan, T., Ghosh, A.K., Pattanaik, J., Ratnakaran, L. (1999), A Quality-control Procedure for Surface Temperature and Surface Layer Inversion in the XBT data Archive from the Indian Ocean, Journal of Atmospheric and Oceanic Technology, No. 19. pp. 980-982.

- Tavousi, T., Hossein Abadi, N. (2016), Investigation of inversion characteristics in atmospheric boundary layer a case study of Tehran, *Model. Earth Syst. Environ.*, No. 2, pp. 85-90.
- Williams, R., Thorp, T. (2015), Characteristics of springtime nocturnal temperature inversions in a high latitude environment, *Weather*. No. 70, pp. 37-43.
- Yasmeen, Z., (2011), Inversion Layer and its Environmental Impact over Karachi, *Pakistan Journal of Meteorology*, No. 7, pp. 53-62.
- Zeng, S., Zhang, Y. (2017), The Effect of Meteorological Elements on Continuing Heavy Air Pollution, A Case Study in the Chengdu Area during the 2014 Spring Festival, *Atmosphere*, No. 8, 4, pp. 85-94.